

EKSPERIMENTINIAI TYRIMAI

Žmogaus galvos smegenų apsiausto žievės storis, išmatuotas anatominiu mezoskopiniu ir magnetinio rezonanso tomografijos tyrimo metodais

**Liuda Janauskaitė, Justina Kačerauskienė, Ugnė Jašinskaitė,
Vytautas Gedrimas¹, Rimvydas Stropus¹**

Kauno medicinos universitetas, ¹Kauno medicinos universiteto Anatomijos institutas

Raktažodžiai: žmogaus didžiujų smegenų žievė, Brodmann'o žieviniai laukai, anatominis mezoskopinis ir magnetinio rezonanso tomografijos tyrimai.

Santrauka. Tyrimo tikslas. Magnetinio rezonanso tomografijos tyrimas atvėrė galimybę žmogaus galvos smegenų anatominį tyrinėti *in vivo*. Todėl aktualu žinias, sukauptas tiriant mirusiu žmonių smegenų sandarą, palyginti su gyvujų. Šio tyrimo tikslas – nustatyti ir palyginti įvairaus amžiaus bei lyties žmonių skirtingu sričių ir pusrutuliu smegenų apsiausto žievės storij, išmatuotą anatominio mezoskopinio ir magnetinio rezonanso tomografijos tyrimo metodais.

Tyrimo medžiaga ir metodai. Apsiausto žievės storis buvo matuojamas abiejų pusrutuliu simetriškuose Brodmann'o žieviniuose laukuose. Anatominio mezoskopinio tyrimo metu buvo naudoti autopsijos metu paimti 2×2 cm dydžio apsiausto gabalėliai, keturias savaites fiksuoti paraformaldehido 10 proc. tirpale. Žievės storis matuotas operaciniu mikroskopu (Liumam KL LOMO) 0,01 mm tikslumu 16 kartų padidintame vaizde. Gyvų žmonių apsiausto žievės storis buvo matuojamas Kauno medicinos universiteto klinikų Radiologijos klinikoje tirtų asmenų galvos smegenų magnetinio rezonanso tomografijos vaizduose, padarytuose (MRT aparatu – Gyroscan, NT, Philips Medical Systems, Best, Netherlands) T1 režimu. Matuojamo žievės lauko vaizdas buvo padidinamas iki mažiausio skaitmeninio vaizdo elemento – pikselio ir matuojamas 0,01 mm tikslumu. Kiekvienu metodu ištirta po 20 vyru ir moterų suskirstytu į dvi grupes: nuo 20 iki 60 metų ($n=10$) ir vyresnius nei 60 metų ($n=10$).

Tyrimo rezultatai ir išvados. Abiem tyrimo metodais nustatytais statistiškai reikšmingas žievės storio skirtumas 1, 4 ir 19 žieviniuose laukuose. Apsiausto žievės storio statistiškai reikšmingo skirtumo tarp skirtingu amžiaus ir lyties asmenų grupių nerasta, tačiau duomenys parodė, kad tarp pirmos ir antros amžiaus grupių vyru žievės storis skiriasi 4,6 proc., o moterų – 1,6 proc. Taip pat statistiškai reikšmingų skirtumų tarp rodmenų, gautų matuojant galvos smegenų žievės storij anatominio mezoskopinio ir magnetinio rezonanso tomografijos tyrimo metodais, nerasta, tačiau fiksuotų smegenų žievė buvo vidutiniškai 0,5 cm plonesnė.

Ivadas

Žmogaus didžiujų smegenų pusrutulius dengia apsiaustas (lot. *pallium*), kurio išorėje pasklidusios nervų ląstelės sudaro pilkosios medžiagos sluoksnį, vadina-mą žieve. Dėl gausių vingių ir vagų visas žmogaus didžiujų smegenų apsiausto žievės plotas siekia 220 000 mm², kuriame telpa per 14 milijardų neuronų (1).

Plika akimi matyti, kad įvairoje vietose žievės storis ir sandara nevienodi: priešcentriniame, motorinės funkcijos, vingyje ji yra vienalytė ir gali būti iki 4,5 mm storio, pentininėje vagoje, regimojoje žievėje,

ji yra ruožuota ir 1,5 mm storio (1). Nustatyta, kad šiuos skirtumus lemia skirtinė žievės histologinė sandara. 19 a. pabaigoje ir 20 a. pradžioje, siekiant rasti tuo metu jau žinomų žievinų centrų funkcijų sąsajas su žievės mikroskopine sandara, pradėti intensyvūs žievės neurohistologiniai tyrinėjimai. Jie parodė, kad skirtinės žievės sričys skiriasi sluoksnių skaičiumi, jų storii, nervų ląstelių ir skaidulų sandara. Remiantis šiais tyrimais, pasiūlyta apsiausto žievę suskirstyti į žievinius laukus. Labiausiai paplitę ir tapo pripažintu K. Brodmann'o 1909 m. pasiūlytas 47 žievinų laukų žievėlapis (1). Paaiškėjo, kad anksčiau kliniškai nustatytas kalbos motorinis (Broca) centras atitinka

K. Brodmann'o 45 žievinį lauką, kalbos sensorinis (Wernicke) centras yra ketvirtajame žieviname lauke (1, 2).

Taigi, mirusiu žmonių didžiujų smegenų apsiausto anatominiai ir neurohistologiniai tyrinėjimai atskleidė žievės sandaros sritinę įvairovę ir jos sąsajas su funkcijų lokalizacija.

Per pastarajį dešimtmetį įdiegti nauji radiologinio tyrimo metodai, t. y. kompiuterinė tomografija, magnetinio rezonanso tomografijos tyrimas, sudaro galimybę apsiausto žievės storį tyrinėti *in vivo*. Šiais tyrimo metodais atliki gyvų žmonių apsiausto žievės storio matavimai įvairiose jos srityse, skirtingos lyties bei amžiaus žmonių smegenyse (3, 4) ir pastebėti jos storio pokyčiai žmonėms, sergantiems kuriomis CNS ligomis (Alzheimerio liga, šizofrenija ir kt.) (5). Tačiau neradome darbų, kuriuose būtų palyginti mirusiu ir gyvų žmonių žievės storio matavimo duomenys, todėl aktualu ir įdomu palyginti fiksuočių smegenų apsiausto žievės storio matavimo duomenis su analogiškais gyvų žmonių smegenų apsiausto žievės tyrimu duomenimis.

Šio tyrimo tikslas – naudojant anatominį mezoskopinį (AMT) ir magnetinio rezonanso tomografijos (MRT) tyrimo metodus, ištirti ir palyginti skirtingo amžiaus ir lyties žmonių žievės storį įvairiuose abiejų smegenų pusrutulių žievės laukuose.

Tyrimo medžiaga ir metodai

Abiem tyrimo metodais apsiausto žievės storis buvo matuojamas simetriškuose abiejų pusrutulių Brodmann'o žieviniuose laukuose: pirmajame – pirminame bendrojo jutimo, ketvirtajame – pirminiam moto-riniame, 17-tajame – pirminiam regimajame ir 19-tajame – asociaciiniame regimajame. Fiksuočių smegenų žievės storio matavimui naudojome AMT metodą. Šiam tikslui autopsijos metu buvo išpjauti 2×2 cm dydžio smegenų apsiausto gabalėliai, plaunami šaltu vandeniu, keturias savaites fiksuooti paraformaldehido

10 proc. tirpale. Operaciniu mikroskopu žievės storis 16 kartų padidintuose vaizduose 0,01 mm tikslumu buvo matuojamas žievinį lauką ribose atlikuose apsiausto vingių paviršiu statmenuose pjūviuose.

Gyvų žmonių žievės storis matuotas KMUK Radiologijos klinikoje atliktų smegenų MRT tyrimu vaizduose, gautuose „Gyroscan“, NT, „Philips Medical Systems“, „Best“, „Netherlands“ T1 režimu. Pirmojo ir ketvirtojo žievinį lauką žievės storis buvo matuojamas skersinėje, o 17-tas ir 19-tas žievinis laukas – vainikinėje (frontalinėje) plokštumose. Matuojamo žievinio lauko vaizdas buvo padidinamas iki mažiausio skaitmeninio vaizdo elemento – pikselio ir išmatuojamas 0,01 mm tikslumu.

Buvo matuojamos 80 asmenų smegenys, kuriose neaptikta neuropatologinių pokyčių. Tirtos medžiagos pasiskirstymas pagal amžių, lytį ir tyrimo metodus pateikiamas 1 lentelėje. Matavimų duomenys buvo apdoroti statistiniu programų paketu „SPSS 10.1“, ne-parametriniams kriterijams naudoti Wilcoxon *Signed Ranks*, Friedman, Mann-Whitney testai. Parametriniams kriterijams ivertinti naudota blokuotų duomenų analizė. Apskaičiuota klaidos tikimybė *p*. Skirtumas statistiškai reikšmingas, kai *p*<0,05.

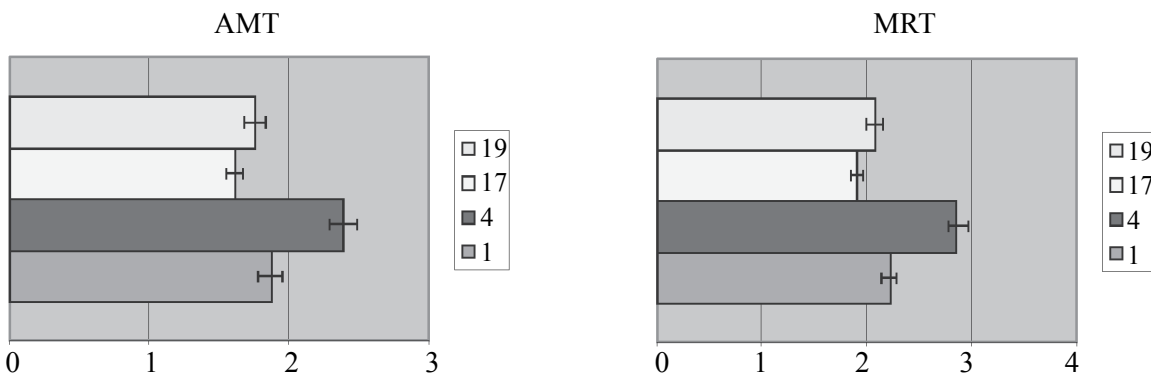
Rezultatai

Abiem tyrimo metodais visose tirtose grupėse, tiek dešiniajame, tiek kairiajame pusrutuliuose nustatytas statistiškai reikšmingas skirtingos lokalizacijos žievės laukų storio skirtumas (pav.).

Paveiksle pateiktais duomenimis, abiem tyrimo metodais storius apsiausto žievė (AMT – 2,39 cm ir MRT – 2,85 cm) aptikta ketvirtajame Brodmann'o lauke – motorinės funkcijos žievėje, o ploniusia (AMT – 1,523 cm ir MRT – 1,77 cm) – pirminėje regimojoje žievėje (17-tajame lauke). Be to, matyti, kad visuose matuotuose žieviniuose laukų fiksuojuose pjūviuose mirusiu žmonių smegenų žievės storis yra mažesnis nei gyvų žmonių smegenyse.

I lentelė. Tiriamos medžiagos pasiskirstymas grupėse pagal amžių, lytį ir tyrimo metodus

Magnetinio rezonanso tomografijos tyrimas	Lytis	Moterys		Vyrai	
		I gr.	II gr.	I gr.	II gr.
	Amžius	[20–60]	(>60)	[20–60]	(>60)
n=40		n=10	n=10	n=10	n=10
Anatominis mezoskopinis tyrimas	Lytis	Moterys		Vyrai	
		I gr.	II gr.	I gr.	II gr.
	Amžius	[20–60]	(>60)	[20–60]	(>60)
n=40		n=10	n=10	n=10	n=10



Pav. Grafinis palyginimas visų ištirtų atvejų skirtinės lokalizacijos Brodmann'o žievinių laukų žievės storio (cm), išmatuoto skirtinės tyrimo metodais

AMT – anatominis mezoskopinis tyrimas, MRT – magnetinio rezonanso tomografijos tyrimas.

Dešiniajame ir kairiajame pusrutuliuose tyrinėtų Brodmann'o laukų žievės storio matavimo skirtinėse lyties ir amžiaus žmonių smegenyse duomenys yra pateikti 1 ir 2 lentelėse. Jų analizė rodo, kad, matuojant žievinių laukų žievės storį abiem tyrimo metodais, reikšmingo storio skirtumo tarp dešiniojo ir kairiojo pusrutulių nėra.

Žievės storio statistiškai reikšmingo skirtumo tarp skirtinę amžiaus ir lyties asmenų grupių nerasta, tačiau paaiškėjo, kad vyru žievės storis skirtinėse amžiaus grupėse skiriasi 4,6 proc., o moterų – 1,6 proc.

Mūsų atlirkinti tyrimai parodė, kad MRT tyrimo metodu žievė buvo storesnė nei tų pačių laukų žievė, matuota autopsinėje medžiagoje. Po autopsijos paraformaldehidu fiksuočių smegenų apsiausto žievė yra plonesnė apie 0,5 cm.

Rezultatų aptarimas

Skirtingos lyties ir amžiaus žmonių pusrutuliu apsiausto žievės storio matavimai parodė, kad skirtinės lokalizacijos žieviniuose laukuose jos storis yra

nevienodas. Storiausia yra motorinės funkcijos žievė (ketvirtasis žievinis laukas), ploniausia – pirminė regimosios funkcijos žievė (17-tasis žievinis laukas). Mūsų tyrimo duomenys sutampa su J. M. Anderson (6) ir kt. autorų atlirkintų tyrimų analogiškais duomenimis, kurie taip pat teigia, kad skirtinės lokalizacijos ir funkcijos žievinių laukai yra statistiškai reikšmingai skirtinės storio.

Atlikus matavimus, nerasta statistiškai reikšmingo žievės storio skirtumo skirtinėse pagal lytį bei amžių grupėse, tačiau buvo pastebėta, kad vyru žievės storis skirtinėse amžiaus grupėse skiriasi 4,6 proc., o moterų – 1,6 proc. Abiejų lyčių žievinių laukų žievės storio statistiškai reikšmingi skirtumai nustatyti ir kitų autorų (7), naudojusių MRT tyrimą. Kai kurie tyrėjai mano, jog amžinė vyru galvos smegenų žievės atrofija vyksta netolygiai – labiau kairiojo pusrutulio, todėl vyrams būna ryškesni šio pusrutulio įtakojamų funkcijų sutrikimai (8).

Taip pat nerasta statistiškai reikšmingo skirtumo matuojant galvos smegenų žievės storį skirtinėse

2 lentelė. Abiejų amžiaus grupių moterų ir vyru pusrutuliu skirtinės lokalizacijos Brodmann'o žievinių laukų žievės storis (cm), išmatuotas anatominio mezoskopinio tyrimo metodu

Pusrutulis	ŽL numeris	Moterys		Vyrai	
		I gr.	II gr.	I gr.	II gr.
Dešinysis	1	1,83 ($\pm 0,1$)	1,85 ($\pm 0,03$)	1,83 ($\pm 0,02$)	1,81 ($\pm 0,1$)
	4	2,2 ($\pm 0,02$)	2,39 ($\pm 0,1$)	2,32 ($\pm 0,03$)	2,1 ($\pm 0,05$)
	17	1,55 ($\pm 0,02$)	1,59 ($\pm 0,02$)	1,51 ($\pm 0,2$)	1,61 ($\pm 0,03$)
	19	1,7 ($\pm 0,05$)	1,74 ($\pm 0,05$)	1,7 ($\pm 0,1$)	1,68 ($\pm 0,1$)
Kairysis	1	1,8 ($\pm 0,1$)	1,87 ($\pm 0,04$)	1,81 ($\pm 0,02$)	1,79 ($\pm 0,02$)
	4	2,3 ($\pm 0,2$)	2,44 ($\pm 0,2$)	2,26 ($\pm 0,1$)	2,2 ($\pm 0,02$)
	17	1,6 ($\pm 0,1$)	1,6 ($\pm 0,02$)	1,53 ($\pm 0,06$)	1,6 ($\pm 0,05$)
	19	1,76 ($\pm 0,05$)	1,75 ($\pm 0,05$)	1,69 ($\pm 0,03$)	1,7 ($\pm 0,1$)

ŽL – žievinių laukai.

3 lentelė. Abiejų amžiaus grupių moterų ir vyrų smegenų pusrutulių skirtinės lokalizacijos Brodmann'o žieviniai laukų žievės storis (cm), išmatuotas magnetinio rezonanso tomografijos metodu

Pusrutulis	ŽL numeris	Moterys		Vyrai	
		I gr.	II gr.	I gr.	II gr.
Dešinysis	1	2,22 ($\pm 0,01$)	2,18 ($\pm 0,02$)	2,0 ($\pm 0,01$)	2,17 ($\pm 0,01$)
	4	2,68 ($\pm 0,03$)	2,85 ($\pm 0,02$)	2,73 ($\pm 0,02$)	2,58 ($\pm 0,02$)
	17	1,87 ($\pm 0,03$)	1,88 ($\pm 0,03$)	1,77 ($\pm 0,02$)	1,9 ($\pm 0,01$)
	19	2,04 ($\pm 0,02$)	2,04 ($\pm 0,01$)	2,05 ($\pm 0,01$)	2,05 ($\pm 0,02$)
Kairysis	1	2,22 ($\pm 0,01$)	2,21 ($\pm 0,01$)	2,15 ($\pm 0,01$)	2,16 ($\pm 0,01$)
	4	2,72 ($\pm 0,02$)	2,87 ($\pm 0,01$)	2,67 ($\pm 0,02$)	2,66 ($\pm 0,01$)
	17	1,89 ($\pm 0,01$)	1,9 ($\pm 0,02$)	1,8 ($\pm 0,02$)	1,91 ($\pm 0,01$)
	19	2,08 ($\pm 0,01$)	2,06 ($\pm 0,03$)	2,0 ($\pm 0,01$)	2,01 ($\pm 0,01$)

ŽL – žieviniai laukai.

žmonių amžiaus grupėse. Tačiau tyrimai parodė, kad pirmoje, t. y. jaunesniojo amžiaus, grupėje smegenų žievė 4,6 proc. vyrams ir 1,6 proc. moterims yra stresnė lyginant su antraja, t. y. vyresnių nei 60 m. amžiaus grupė. Ir MRT tyrimais, ir autopsinės medžiagos neurohistologiniai tyrimais (3, 4) nustatyta, kad sensant vyksta galvos smegenų atrofija. Tuo bandoma paaiškinti galvos smegenų žievės storio amžinių išplonėjimą, kuris visų pirma yra susijęs su joje esančia mielininių nervų skaidulų degeneracija, o ne neuronų žūtimi (9–11).

Nerasta statistiškai reikšmingo kairiojo ir dešiniojo pusrutulių žievės storio skirtumo. MRT atlanko tyrimo metu nustatyta, kad kairiojo pusrutulio žievė buvo storesnė vidutiniškai 0,02 cm. 85–92 proc. pasaulio žmonių yra dešiniarankiai, todėl tikėtina, kad pastaruju kairiojo pusrutulio žievė yra išsvysčiusi labiau nei dešiniojo. Šią mūsų prielaidą patvirtina aptikta stipri koreliacija tarp pagrindinės rankos (kairiosios ar dešiniosios) ir dominuojančio pusrutulio žievės storio (12).

Naudojant skirtinges galvos smegenų žievės storio matavimo metodus (MRT ir AMT), statistiškai reikšmingo duomenų skirtumo nenustatyta, nors pastebėta, kad, atliekant autopsinės medžiagos fiksaciją paraformaldehido tirpale, galvos smegenų žievės storis sumažėja iki 0,5 cm. Šiuos skirtumus mes siejame su audinių dehidratacija fiksacijos eigoje. Ši priežastis nurodoma ir kitų autorų, kurie žievės storį matavo

po įvairios trukmės fiksacijos (13, 14). Šis statistiškai nereikšmingas žievės storio skirtumas leidžia teigti, kad MRT gali būti naudojamas gyvų žmonių smegenų anatominės sandaros studijoms. Šią mūsų išvadą patvirtina ir kiti autoriai, kurie žmonėms, sirdžiuems šizofrenija, MRT nustatė žievės storio išplonėjimą (15).

Išvados

1. Pasirinktais metodais nustatytais statistiškai reikšmingas žievės storio skirtumas tarp 1, 4 ir 19 žieviniai laukų: statoriausia žievė aptikta 4-tajame žieviniam lauke (AMT – 2,39, MRT – 2,89 cm), o ploniausia – 17-tajame žieviniam lauke (atitinkamai – 1,52 ir 1,77 cm).

2. Statistiškai reikšmingų apsiausto žievės storio skirtumų tarp skirtinės amžiaus ir lyties grupių nerasta, tačiau antroje vyresniojo amžiaus grupėje vyrų žievės storis buvo mažesnis 4,6 proc., moterų – 1,6 proc.

3. Nerasta statistiškai reikšmingo žievės storio skirtumo tarp matavimo duomenų, gautų matuojant AMT ir MRT metodais, tačiau po autopsijos fiksotų smegenų visų žieviniai laukų žievė buvo vidutiniškai 0,5 cm plonesnė.

Padėka

Dėkojame KMU Anatomijos instituto, Patologinės anatomijos ir Radiologijos klinikų, Fizikos matematikos ir biofizikos katedros vadovams už sudarytas sąlygas atlikti ši tyrimą bei dalykinę paramą.

Thickness of cerebral cortex measured using anatomical mesoscopic imaging and magnetic resonance imaging

Liuda Janauskaitė, Justina Kačerauskienė, Ugnė Jašinskaitė, Vytautas Gedrimas¹, Rimvydas Stropas¹
Kaunas University of Medicine, ¹Institute of Anatomy, Kaunas University of Medicine, Lithuania

Key words: human cerebral cortex; Brodmann's cortical areas; anatomical mesoscopic imaging; magnetic resonance imaging.

Medicina (Kaunas) 2008; 44(2)

Summary. Objective. Magnetic resonance imaging method opened up the possibility for *in vivo* examination of the anatomy of human brain. For this reason it is interesting and relevant to compare the knowledge accumulated over a number of years during the examination of the composition of dead brain to that obtained from magnetic resonance images.

The aim of this study was to determine and compare the thickness of cerebral cortex in human of different age and sex, measured in different sites of the hemispheres when applying anatomical mesoscopic imaging and magnetic resonance imaging.

Material and methods. The thickness of cerebral cortex was measured in symmetrical Brodmann's areas of both hemispheres. The anatomical mesoscopic imaging technique was used for the examination of 2×2-cm cortex samples obtained during autopsy and fixed for 4 weeks in 10% paraformaldehyde. In these samples, cortex thickness was measured in sections perpendicular to the convolution, using an operative microscope, in a mesoscopic image at ×16 magnification and with an accuracy of 0.01 mm. Using cerebral magnetic resonance imaging, the thickness of cerebral cortex in live subjects was measured on T1-weighted images of patients examined at the Clinic of Radiology, Kaunas University of Medicine Hospital. The measured cortical field image was magnified to the smallest element of digital image – the pixel – and measured with an accuracy of 0.01 mm. Each of the two techniques was applied for the examination of 20 men and women who were divided into age groups of 20–60 years (n=10) and older than 60 years (n=10).

Results and conclusions. Both examination methods yielded a statistically significant difference in the thickness of cerebral cortex between Brodmann's areas 1, 4, and 19. No significant difference in cortex thickness was found between different age and sex groups; however, the findings showed that the difference in cortex thickness between the different age male groups was 4.6% and female – 1.6%. No significant difference using different techniques was found, but the cortex thickness in the fixed samples was reduced by 0.5 cm on average.

Correspondence to L. Janauskaitė, Kaunas University of Medicine, A. Mickevičiaus 9, 44307 Kaunas, Lithuania
E-mail: liuda_jan@hotmail.com

Literatūra

- Duanes EH. Fundamental neuroscience. 2nd ed. USA: Churchill Livingstone; 2002.
- Carpenter MB, Sutin J. Neuroanatomy. Baltimore: Williams & Wilkins; 1982.
- Scahill RI, Frost C, Jenkins R, Whitwell JL, Rossor MN, Fox NC. A longitudinal study of brain volume changes in normal aging using serial registered magnetic resonance imaging. *Arch Neurol* 2003;60:989-94.
- Resnick SM, Pham DL, Kraut MA, Zonderman AB, Davatzikos C. Longitudinal magnetic resonance imaging studies of older adults: a shrinking brain. *J Neurosci* 2003;23(8):3295-301.
- Shenton ME, Dickey CC, Frumin M, McCarley RW. A review of MRI findings in schizophrenia. *Schizophr Res* 2001;49(1-2):1-52.
- Anderson JM, Hubbard BM, Coghill GR, Slidders W. The effect of advanced old age on the neurone content of the cerebral cortex. *J Neurol Sci* 1983;58:233-44.
- Luders E, Narr KL, Thompson PM, Rex DE, Jancke L, Toga AW. Hemispheric asymmetries in cortical thickness. *Cereb Cortex* 2006;16(8):1232-8.
- Sommer IEC, Aleman A, Bouma A, Kahn RS. Do women really have more bilateral language representation than men? A meta-analysis of functional imaging studies. *Brain* 2004; 127(8):1845-52.
- Armstrong CL, Traipe E, Hunter JV, Haselgrove JC, Ledakis GE, Tallent EM, et al. Age-related, regional, hemispheric, and medial-lateral differences in myelin integrity *in vivo* in the normal adult. *Am J Neuroradiol* 2004;25:977-84.
- Meier-Ruge W, Ulrich J, Brühlmann M, Meier E. Age-related white matter atrophy of the human membrane. *Ann N Y Acad Sci* 1992;673:260-9.
- Svennerholm L, Bostrom K, Jungher B. Changes in weight and compositions of major membrane components of human brain during the span of adult human life of Swedes. *Acta Neuropathol* 1997;94:345-52.
- Volkmann J, Schnitzler A, Witte OW, Freund HJ. Handedness and asymmetry of hand representation in human motor cortex. *J Neurophysiol* 1998;79(4):2149-54.
- Maekawa S, Al-Sarraj S, Kibble M, Landau S, Parnavelas J, Cotter D, et al. Cortical selective vulnerability in motor neuron disease: a morphometric study. *Brain* 2004;127(6):1237-51.
- Weickert CS, Hyde TM, Lipska BK, Herman MM, Weinberger DR, Kleinman JE. Reduced brain-derived neurotrophic factor in prefrontal cortex of patients with schizophrenia. *Mol Psychiatry* 2003;8(6):592-610.
- Shenton ME, Dickey CC, Frumin M, McCarley RW. A review of MRI findings in schizophrenia. *Schizophr Res* 2001;49(1-2):1-52.

Straipsnis gautas 2007 09 23, priimtas 2008 01 22

Received 23 September 2007, accepted 22 January 2008